

การศึกษาสัดส่วนพื้นที่เก็บไอน้ำในถังขับดันที่มีต่อการสูบไอน้ำของปั๊มสูบไอน้ำกำลังไอน้ำ

A Study of Steam Storage Area Ratio in Pressure Vessels Affecting Water Pumping Performance of Steam-Powered Water Pumps

Pakorn Promkaew
Industrial Technology,
Faculty of Science and Technology,
Phuket Rajabhat University
Phuket, Thailand
pakorn.p@pkru.ac.th

Goffaree Hemmin
Industrial Technology,
Faculty of Science and Technology,
Phuket Rajabhat University
Phuket, Thailand
hemmingoffaree@gmail.com

Nattapon Dadsadachan
Industrial Technology,
Faculty of Science and Technology,
Phuket Rajabhat University
Phuket, Thailand
tonza6036@gmail.com

Abstract— This research aimed to examine the effects of steam storage area ratios in the pressure vessel on water pumping capacity and determine the efficiency of the steam-powered water pump via a steam-powered water pump utilizing low-temperature waste heat. The waste heat was simulated using a 6,000 W electric heater. The steam-powered pump system consists of 4 units: 1) steam generation unit, 2) water pressurization unit, 3) cooling unit, and 4) pumping unit. It works with a suction static head and discharge static head of 1 m and 2.5 m, respectively. Water volume pumped was measured under 3 operational cycles with initial steam storage area ratio in the pressure vessel at 25%, 50%, and 75% of the vessel's capacity. Results showed that both the total pumped volume and pump efficiency varied according to initial steam storage area ratio. The maximum total pumped volume was 35,000 mL, and the maximum pump efficiency was 0.005759%, which occurred with 25% initial steam storage area ratio.

Keywords— pump efficiency, steam-powered pump, waste heat

I. บทนำ

ในยุคปัจจุบันที่ความต้องการใช้พลังงานเพิ่มสูงขึ้นอย่างต่อเนื่อง จากข้อมูลสถานการณ์พลังงานปี พ.ศ. 2566 การใช้ไฟฟ้าอยู่ที่ 203,923 ล้านหน่วย เพิ่มขึ้นร้อยละ 3.4 โดยมาจากการใช้ไฟฟ้าในส่วนของสาขาธุรกิจที่เกี่ยวข้องกับการท่องเที่ยวและบริการมีการขยายตัวอย่างต่อเนื่อง จากเศรษฐกิจที่ฟื้นตัว ภายหลังสถานการณ์การแพร่ระบาดของโควิดเชื้อไวรัสโคโรนา 2019 คลี่คลาย ส่งผลให้การใช้ไฟฟ้าในสาขาธุรกิจเพิ่มขึ้นร้อยละ 8.4 โดยเฉพาะอย่างยิ่งการใช้ไฟฟ้าในโรงเรமที่เพิ่มสูงขึ้นถึงร้อยละ 22.5 แสดงถึงก้าวต่อต่อการเข้าพักริมแม่น้ำจากปี พ.ศ. 2565 ร้อยละ 48 [1] การใช้พลังงานอ่างเมืองสิทธิภาพ และการอนุรักษ์พลังงานจึงถูกยกย่องเป็นประเด็นสำคัญที่ทำให้โรงเรมให้ความตระหง่านในการดำเนินการเพื่อให้เกิดการใช้ทรัพยากรและพลังงานอย่างคุ้มค่า และมีประสิทธิภาพ มีการจัดการครมพิษและล่วงเวลาด้วยที่ได้แก่การติดตั้งเครื่องปรับอากาศที่เป็นมิตรต่อสิ่งแวดล้อม หรือ โรงแรมสีเขียว (Green hotel) ดังนั้น ในจังหวัดที่มีโรงเรมตั้งอยู่เป็นจำนวนมาก เช่น จังหวัดภูเก็ต จึงมีการตั้งเป้าลดก้าวเรือนกระจกเป็นเมืองคาร์บอนต่ำในปี พ.ศ. 2573 ซึ่งแสดงถึงก้าวแผนงานการพัฒนาการเปลี่ยนแปลงสภาพภูมิอากาศระหว่างประเทศที่สำคัญที่สุดในภาคส่วนพลังงาน โดยแผนของจังหวัดภูเก็ตตั้งเป้าไว้ที่ 440,000 tCO₂eq คิดเป็นเป้าหมายทั้งจังหวัดในการลดก้าวเรือนกระจก คือ 9.51% ต้องทำให้ได้ในปี 2030 [2]

การสูบไอน้ำเป็นส่วนหนึ่งในระบบสุขาภิบาลที่มีการใช้งานในโรงเรม พื้นที่หลักที่มีการใช้น้ำของโรงเรม ได้แก่ ห้องพักแขก สารว่าไนน่า ห้องชักรีด เป็นต้น จากการศึกษาการใช้น้ำของโรงเรมขนาดกลางและขนาดใหญ่ในเทศบาลเมืองป่าตอง จังหวัดภูเก็ต ประมาณ 450 L/Room/d [3] โดยปกติเครื่องสูบไอน้ำที่ใช้พลังงานไฟฟ้าถูกนำมาใช้เป็นอุปกรณ์หลักในการสูบไอน้ำ วิธีการอนุรักษ์พลังงานสำหรับโรงเรมประการหนึ่งที่สามารถทำได้คือ การนำความร้อนที่ถูกปล่อย出ที่ตู้กลั่นมาใช้ประโยชน์ในการสูบไอน้ำแบบขับดันน้ำ วิธีการนี้ช่วยลดการใช้ไฟฟ้าและลดการปล่อยก๊าซเรือนกระจกได้อีกด้วย เนื่องจากไม่มีการใช้พลังงานไฟฟ้าหรือเชื้อเพลิงฟอสซิลในการสูบไอน้ำ

เครื่องสูบไอน้ำกำลังไอน้ำเป็นเทคโนโลยีที่สามารถเปลี่ยนพลังงานความร้อนเป็นพลังงานกลเพื่อใช้ในการสูบไอน้ำ มีการวิจัยที่ใช้แหล่งพลังงานความร้อนจากแหล่งต่างๆ เช่น รังสีอาทิตย์โดยใช้ตัวรับรังสีแบบท่อสูญญากาศที่มีน้ำเป็นสารทำงาน [4] การศึกษาการปั๊มน้ำด้วยพลังงานรังสีอาทิตย์ที่มีก้าวไปไกลจนเป็นสารทำงาน [5] การศึกษาการนำความร้อนเหลือทั้งกลั่นมาใช้ในระบบสูบไอน้ำด้วยกำลังไอน้ำ [6] เครื่องสูบไอน้ำพลังงานความร้อนจากถ่านไม้ [7] โดยการสูบไอน้ำแบบขับดันน้ำด้วยกำลังไอน้ำแบ่งการทำงานเป็น 4 ช่วง ได้แก่ 1) ช่วงผลิตไอน้ำ 2) ช่วงขับดันน้ำ 3) ช่วงหล่อเย็น และ 4) ช่วงสูบไอน้ำ พบว่า การควบคุมความดันเกจของสูบไอน้ำช่วยให้จำนวนรอบในการสูบไอน้ำ และปริมาณน้ำที่สูบได้ตัวอ่อนเพิ่มขึ้น [8] โดยความสูงด้านดูดน้ำของระบบที่เพิ่มขึ้นเมื่อผลทำให้ประสิทธิภาพของเครื่องสูบไอน้ำเพิ่มขึ้นด้วยในกรณีที่ปริมาตรน้ำที่สูบได้ในแต่ละความสูงด้านดูดน้ำใกล้เคียงกัน [7] นอกจากจะตัดความสูงในการสูบไอน้ำ อุณหภูมิภายในถังขับดัน และอุณหภูมิน้ำหล่อเย็นที่มีผลต่อการทำงานของระบบแล้ว อุณหภูมิน้ำที่สูงกว่าอุณหภูมิสิ่งแวดล้อมเมื่อติดให้กับถังผลิตไอน้ำจะช่วยเพิ่มจำนวนรอบการสูบไอน้ำ [6]

จากเหตุผลที่กล่าวมาข้างต้น เครื่องสูบไอน้ำกำลังไอน้ำจากแหล่งพลังงานความร้อนมีศักยภาพที่สามารถนำมายังเครื่องสูบไอน้ำในงานวิจัยนี้จึงมีแนวคิดในการศึกษาถูกต้องในการทำงานของปั๊มน้ำที่ใช้กำลังไอน้ำที่ใช้สูบไอน้ำแบบขับดันน้ำ โดยใช้อุปกรณ์ไฟฟ้าขนาด 6,000 W จำลองเป็นแหล่งพลังงานความร้อนเหลือที่ตั้งสำหรับผลิตไอน้ำให้กับถังขับดันน้ำที่ตั้งไว้ในช่วงเริ่มต้นแตกต่างกัน เพื่อศึกษาผลของสัดส่วนพื้นที่ส่วนเก็บไอน้ำในถังขับดันที่มีต่อปริมาณน้ำที่สูบได้ และเพื่อหาประสิทธิภาพของปั๊มน้ำที่สูบได้และประสิทธิภาพของปั๊มน้ำกำลังไอน้ำสูงที่สุด ซึ่งคาดหวังว่าสัดส่วนพื้นที่เก็บไอน้ำที่ต่ำจะมีปริมาณน้ำที่สูบได้และประสิทธิภาพของปั๊มน้ำกำลังไอน้ำสูงที่สุด

บททวนวรรณกรรม

การสูบน้ำด้วยกำลังไอน้ำอาศัยหลักการเปลี่ยนแปลงอุณหภูมิและความตันของวัฏจักรทำให้เกิดการส่งความร้อนและการขับดันของเหลวว้ายไอ ระบบสามารถสูบน้ำได้โดยไม่ต้องล่อน้ำ (Self-Priming) ไม่มีการใช้ปั๊มไฟฟ้าและไม่มีการใช้ไฟฟ้าในการควบคุมความล่วงต่างๆ การวิจัยที่ผ่านมาเน้นการศึกษาเกลไกการทำงานของระบบสูบน้ำและตัวแปรที่มีผลต่อการสูบน้ำได้แก่ ความตันในถัง [4] อุณหภูมน้ำของถังขับดันและอุณหภูมน้ำที่เติมให้ถังผลิตไอน้ำ [6] ระดับความสูงในการสูบน้ำ [9] ปริมาณน้ำหล่อเย็น [10] นิยามใช้ชีดเตอร์ไฟฟ้าเป็นแหล่งพลังงานความร้อน ในงานวิจัยของ [4] ศึกษาการสูบน้ำโดยใช้พลังงานความร้อนจากชีดเตอร์ขนาด 100, 270 และ 440 W ควบคุมความตันภายในถัง ระยะเท่ากับ 142, 163, 183 และ 203 kPa ทดลองที่ระดับความสูงด้านดูด 1.0, 1.5, 2.0 และ 2.5 m เครื่องสูบน้ำประกอบด้วย ถังระเหย ถังควบแน่น และแหล่งกำเนิดความร้อนจากชีดเตอร์พร้อม ปริมาณน้ำด้านส่งเพิ่มขึ้นตามค่าความตันภายในถังดัน ในขณะที่ระดับความสูงด้านดูดยังมีผลไม้ชัดเจน และเมื่อระดับความสูงรวม (Total Head) เพิ่มขึ้นทำให้ปริมาณน้ำด้านส่งลดลง ถ้าพิจารณาที่ปริมาณน้ำด้านส่งเท่ากัน ประสิทธิภาพปั๊มสูงสุดเท่ากับ 0.03% จะเกิดขึ้นที่ระดับความสูงรวมมากที่สุด

ในงานวิจัยของ [6] ทดลองที่ระดับความสูงด้านสูง 1 m และใช้ชีดเตอร์ไฟฟ้า 3,000 W พบว่า อุณหภูมน้ำเฉลี่ยภายในถังน้ำร้อนเท่ากับ 46.44°C สามารถส่งน้ำไปถังเก็บน้ำได้ 47 cycle ปริมาณน้ำที่สูบได้สูงสุด 246.4 L ประสิทธิภาพความร้อน เท่ากับ 77.47% และมีประสิทธิภาพปั๊มเท่ากับ 0.023% ซึ่งจำนำร้อนของการทำงานของระบบแบ่งผันตามอุณหภูมน้ำที่เติมเข้าถังผลิตไอน้ำ

ในงานวิจัยของ [10] ศึกษาความเป็นไปได้ของแบบจำลองการสูบน้ำได้ด้วยกำลังไอน้ำ-อากาศแบบหล่อเย็นโดยการสัมผัสทางตรง ติดตั้งชีดเตอร์จำลอง เป็นพลังงานความร้อนเหลือทิ้งสำหรับปั๊มน้ำขนาด 10 L ทดลองที่เยื่อรวม 3, 4.5, 6 และ 7.5 m ในลักษณะที่เกี่ยวกับงานวิจัยของ [11] ที่สร้างเครื่องสูบน้ำพลังงานความร้อนด้วยกำลังไอน้ำร่วมกับอากาศแบบอัตโนมัติที่กำหนดระดับความสูงด้านดูด 2-5 m พบว่า ปั๊มน้ำที่มีปริมาตรอากาศ 50% ของขนาดถังขับดัน เพียงพอที่ใช้ในการสูบน้ำ อุณหภูมิในช่วงให้ความร้อนอยู่ในช่วง $100\text{-}103^{\circ}\text{C}$ อุณหภูมิในช่วงขับดันน้ำอยู่ในช่วง $80\text{-}90^{\circ}\text{C}$ และความตันอยู่ในช่วง $12\text{-}18$ kPa ความตันในช่วงการดูดน้ำประมาณ -80 kPa จะมีประสิทธิภาพดีที่สุด โดยความสามารถในการสูบน้ำในเวลา 2 h พบว่าที่ระดับความสูงด้านดูด 2 m ปริมาณน้ำสูบได้สูงสุด 170 L และลดลงตามระดับความสูงด้านดูด ที่ระดับความสูงด้านดูด 3.5, 5 และ 6.5 m ปริมาณน้ำที่สูบได้สูงสุด 113 L, 96 L และ 65 L ตามลำดับ และยังสอดคล้องกับงานวิจัยของ [12] การทดลองสูบน้ำด้วยกำลังไอน้ำที่ควบคุมด้วยมือ จำลองการให้พลังงานความร้อนด้วยไฟฟ้า กระแทกอุณหภูมิลงสูบน้ำเท่ากับ 97°C และระบายความร้อนด้วยอากาศ พบร่วมกับประสิทธิภาพปั๊มเพิ่มขึ้นตามระดับความสูงด้านดูด ประสิทธิภาพปั๊มสูงสุดคือ 0.15% ที่ระดับความสูงด้านดูด 5 m จึงสรุปได้ว่า การเพิ่มระดับความสูงในการสูบน้ำช่วยเพิ่มประสิทธิภาพปั๊มน้ำให้สูงขึ้น

ในงานวิจัยของ [9] ศึกษาระดับความสูงในการสูบน้ำในช่วง 2-8 m นาน 10 h พบว่า ระดับความสูงในการสูบน้ำที่เพิ่มขึ้นส่งผลให้ปริมาณน้ำที่สูบได้ลดลง แต่ประสิทธิภาพปั๊มเพิ่มขึ้น ที่ระดับความสูงในการสูบ 2 m และ 8 m ปริมาณน้ำที่สูบได้เท่ากับ 2,040 L และ 1,428 L ประสิทธิภาพปั๊มเท่ากับ 0.6649% และ 1.86619% ตามลำดับ แต่การเพิ่มระดับความสูงด้านดูด

จำเป็นต้องเพิ่มความตันสูญญากาศให้มากขึ้นด้วย สอดคล้องกับงานวิจัยของ [13] ศึกษาอุณหภูมิและปริมาณน้ำหล่อเย็นที่ส่งผลต่อความตันสูญญากาศของปั๊มน้ำด้วยกำลังไอน้ำ พบว่า การลดอุณหภูมิและการเพิ่มปริมาณน้ำหล่อเย็น ส่งผลให้เกิดความตันสูญญากาศมากขึ้น ทำให้สามารถสูบน้ำในระดับความสูงด้านดูดที่เพิ่มขึ้น โดยที่จากการศึกษาพบว่า ปริมาณน้ำหล่อเย็นส่งผลต่อความตันสูญญากาศให้มากกว่าการลดอุณหภูมน้ำหล่อเย็น

จากรายงานวิจัยที่ผ่านมา การสูบน้ำด้วยกำลังไอน้ำแบบขับดันน้ำ มุ่งเน้นการศึกษาผลของตัวแปรที่มีผลต่อจำนวนรอบการทำงานและประสิทธิภาพปั๊มน้ำ เช่น ระดับความสูงด้านดูดและด้านส่งน้ำ กำลังไฟฟ้าที่ใช้อุณหภูมิภายในถังขับดัน อุณหภูมน้ำหล่อเย็น เป็นต้น ดังนั้น ในงานวิจัยนี้จึงได้ศึกษาผลของสัดส่วนพื้นที่ส่วนเก็บไอน้ำในถังขับดันที่มีต่อปริมาณน้ำที่สูบได้ และหาประสิทธิภาพของปั๊มน้ำด้วยกำลังไอน้ำ ด้วยการจำลองแหล่งพลังงานความร้อนจากชีดเตอร์ไฟฟ้า และกำหนดเดดลิมิตด้านดูดและเดดลิมิตด้านส่งคงที่ เพื่อมุ่งหวังในการหาเงื่อนไขเริ่มต้นการทำงานของระบบสูบน้ำที่เหมาะสมที่สุด และมีค่าพลังงานจำเพาะ (Specific Energy Consumption: SEC) ต่ำที่สุด

II. ระเบียบวิธีวิจัย

A. หลักการทำงานของระบบสูบน้ำ

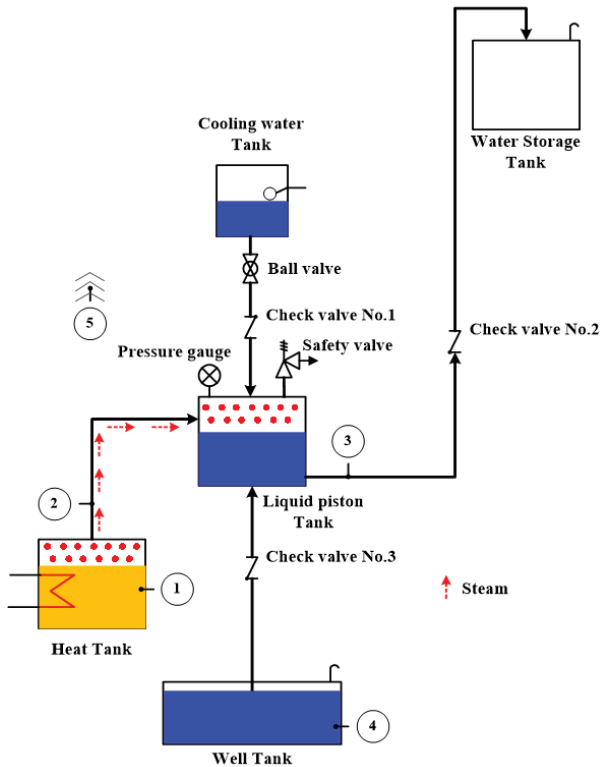
การสูบน้ำด้วยกำลังไอน้ำอาศัยหลักการสร้างสภาวะสูญญากาศในถังขับดัน (Liquid Piston Tank) เพื่อสูบน้ำและสร้างความตันที่มากกว่าความตันบรรยายกาศในการผลักดันน้ำออกจากถังขับดัน แบ่งการทำงานเป็น 4 ช่วง ได้แก่ 1) ช่วงให้ความร้อน (Heating Stage) 2) ช่วงขับดันน้ำ (Water Circulating Stage) 3) ช่วงหล่อเย็น (Cooling Stage) และ 4) ช่วงสูบน้ำ (Suction Stage)

ช่วงให้ความร้อน เริ่มจากให้ความร้อนแก่น้ำในถังผลิตไอน้ำ (Heat Tank) ที่ชีดเตอร์ขนาด 6,000 W ที่จำลองเป็นแหล่งพลังงานร้อนเหลือทิ้งอุณหภูมิต่ำ จนกระทั่งน้ำมีอุณหภูมิเพิ่มขึ้นใกล้เคียง 100°C ทำให้น้ำเปลี่ยนสถานะจากของเหลวกลายเป็นไอน้ำ ไอน้ำที่เกิดขึ้นจะไหลผ่านห้องผ่านท่อเข้าสู่ถังขับดันตั้งภาคที่ 1

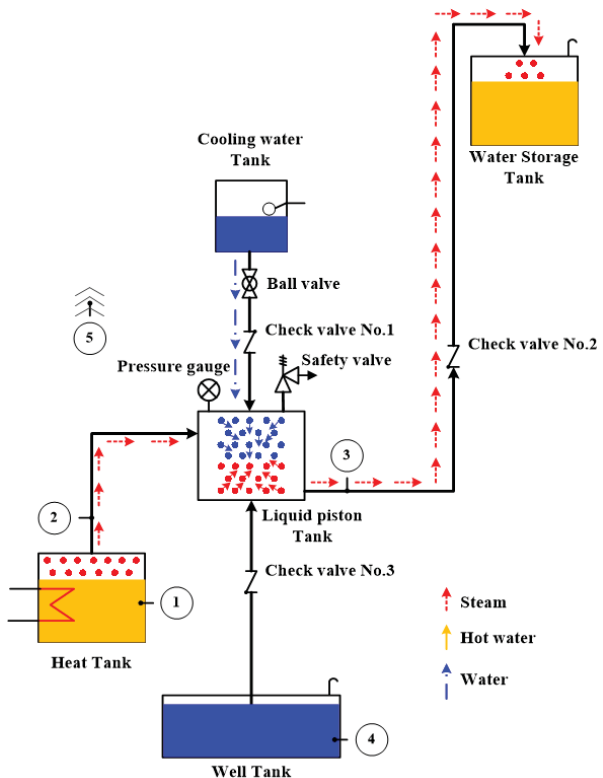
ช่วงขับดันน้ำ เมื่อไอน้ำสัมภานในถังขับดันจนความตันที่เกิดขึ้นมากกว่าแรงดันของเข็คาวล์หมายเลข 2 ทำให้สามารถขับดันน้ำที่อยู่ในถังขับดันไหลผ่านห้องผ่านไอน้ำ (Water Storage Tank) ขนาด 50.2 L ดังภาพที่ 2

ช่วงหล่อเย็น เมื่อไอน้ำสูญญากาศจากถังขับดันจนหมด กระแทกที่ไอน้ำไหลออกสู่บรรยายกาศภายนอกที่ปลายท่อด้านส่งน้ำ ส่งผลให้ความตันภายในถังขับดันเท่ากับความตันบรรยายกาศ จึงทำให้น้ำในถังหล่อเย็น (Cooling Water Tank) สามารถไหลตามแรงโน้มถ่วงของโลกผ่านเข็คาวล์หมายเลข 1 เข้าสู่ถังขับดันและเกิดการควบแน่นเนื่องจากผลต่างของอุณหภูมิระหว่างไอน้ำและน้ำหล่อเย็น ทำให้ไอน้ำหยุดตัวเกิดสภาวะสูญญากาศ (Vacuum Stage) ช่วงขณะตั้งภาคที่ 3

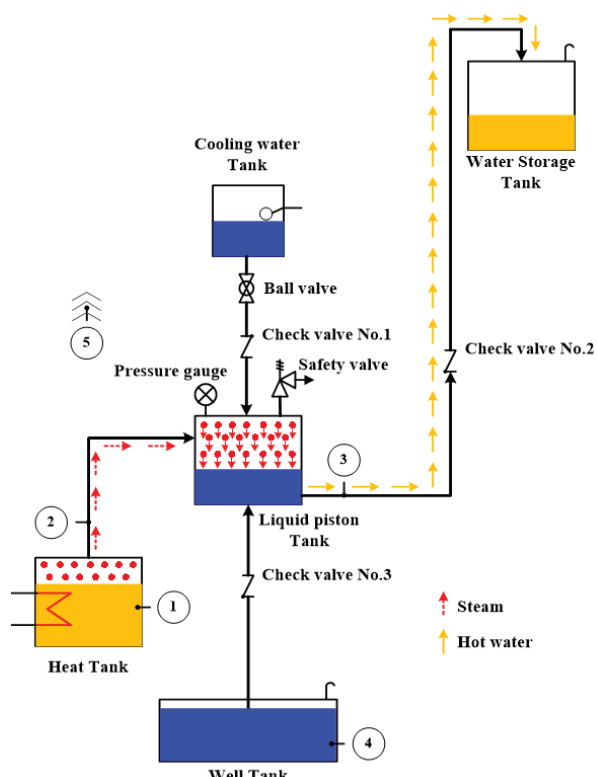
ช่วงสูบน้ำ เมื่อเกิดสูญญากาศภายในถังขับดันทำให้สามารถสูบน้ำจากแหล่งน้ำ (Well Tank) และจะหยุดที่ต่อเมื่อความตันภายในถังขับดันเท่ากับความตันบรรยายกาศ น้ำที่ถูกสูบน้ำนั้นจะได้รับความร้อนจากไอน้ำที่มาจากส่วนผลิตไอน้ำ ดังภาพที่ 4 เพื่อเข้าสู่ช่วงขับดันน้ำต่อไป และเกิดเป็นวัฏจักรซ้ำไปเรื่อยๆ และจะหยุดที่ต่อเมื่อปริมาณความร้อนไม่เพียงพอในการสร้างสภาวะสูญญากาศและความตันของถังขับดันน้อยกว่าเดิมรวมของระบบ



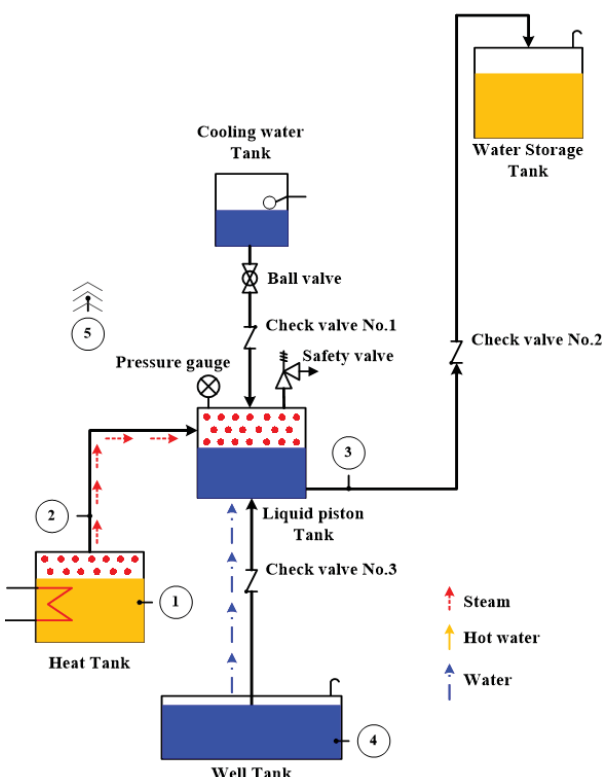
ภาพที่ 1 ไดอะแกรมระบบการทำงานของปั๊มสูบน้ำกำลังไอน้ำช่วงผลิตไอน้ำ



ภาพที่ 3 ไดอะแกรมระบบการทำงานของปั๊มสูบน้ำกำลังไอน้ำช่วงหล่อเย็น



ภาพที่ 2 ไดอะแกรมระบบการทำงานของปั๊มสูบน้ำกำลังไอน้ำช่วงขับดันน้ำ



ภาพที่ 4 ไดอะแกรมระบบการทำงานของปั๊มสูบน้ำกำลังไอน้ำช่วงสูบน้ำ

B. วัสดุอุปกรณ์

รายละเอียดของอุปกรณ์และเครื่องมือวัดที่ใช้ในงานวิจัย มีดังนี้

1) อีตเตอร์ชันิดแบบจุ่ม ขนาดกำลังไฟฟ้า 6,000 W ใช้เป็นแหล่งพลังงานความร้อนให้กับถังผลิตไอน้ำ

2) ถังผลิตไอน้ำ ลักษณะเป็นถังเหล็กทรงกระบอกแนวตั้ง ขนาดความจุถัง 13 L จำนวน 1 ถัง ติดตั้งอีตเตอร์ชันิดแบบจุ่มให้ความร้อนกับน้ำเพื่อผลิตไอน้ำป้อนให้กับถังขับดัน

3) ถังขับดันน้ำ มีลักษณะเดียวกับถังผลิตไอน้ำ จำนวน 1 ถัง มีท่อขนาด ¾ in เข้ามือต่อ กับถังผลิตไอน้ำ ถังน้ำหล่อเย็น ถังเก็บน้ำ และแหล่งน้ำ มีหน้าที่สูบน้ำจากแหล่งน้ำและขับดันไปยังถังเก็บน้ำ

4) ถังน้ำหล่อเย็น เป็นถังทรงกระบอกแนวตั้ง เส้นผ่าศูนย์กลาง 26 cm สูง 26 cm หนา 0.8 mm ทำมาจากสแตนเลส ขนาดความจุถัง 13.8 L มีหน้าที่บรรจุน้ำหล่อเย็นเพื่อสร้างสภาพแวดล้อมที่เหมาะสมกับภาระทางกายภาพในถังขับดัน

5) ถังเก็บน้ำ มีลักษณะเดียวกับถังน้ำหล่อเย็น เส้นผ่าศูนย์กลาง 40 cm สูง 40 cm หนา 0.8 mm ทำมาจากสแตนเลส ขนาดความจุถัง 50.2 L มีหน้าที่กักเก็บน้ำที่สูบได้จากระบบปั๊มน้ำสำหรับไอน้ำ

6) วาล์วกันกลับ (Check Valve) ทำจากสแตนเลส ขนาด ¾ in ใช้ป้องกันการไหลย้อนกลับของน้ำในระบบปั๊มน้ำสำหรับไอน้ำ

7) เครื่องวัดความดัน (Pressure Gauge) ถูกติดตั้งไว้ 2 ตำแหน่งคือ ถังผลิตไอน้ำ และถังขับดันไอน้ำ ใช้สำหรับสังเกตการเปลี่ยนแปลงของความดันที่เกิดขึ้นระหว่างการทำงานของระบบปั๊มน้ำสำหรับไอน้ำ

8) หัววัดอุณหภูมิชนิด K (Thermocouple type K) ยาว 2 m หัววัดยาว 30 mm ช่วงการวัดอุณหภูมิ 0 °C ถึง 400 °C ใช้ตรวจวัดอุณหภูมิที่เกิดขึ้นระหว่างการทำงานของระบบปั๊มน้ำสำหรับไอน้ำ

9) เครื่องบันทึกอุณหภูมิ (Data logger) ใช้ไมโครคอนโทรลเลอร์ ESP32 ในการควบคุมและประมวลผลข้อมูลอุณหภูมิจาก Thermocouple type K ที่หัววัดอุณหภูมิได้ในช่วง 0 - 800 °C ซึ่งทำงานผ่านโมดูล MAX6675 มีการแสดงผล LCD สำหรับแสดงผลข้อมูลอุณหภูมิและข้อมูลอื่น ๆ ที่เกี่ยวข้องแบบเรียลไทม์ และส่งข้อมูลทุก 5 sec ผ่าน Wi-Fi ไปจัดเก็บยังฐานข้อมูล MySQL ในเซิร์ฟเวอร์เพื่อแสดงผลในลักษณะตัวเลขหรือกราฟเพื่อการวิเคราะห์และประมวลผล

C. การวิเคราะห์ปั๊มน้ำด้วยกำลังไอน้ำ

การวิเคราะห์ประสิทธิภาพการทำงานของปั๊มน้ำสำหรับไอน้ำ มีการตรวจวัดค่าอุณหภูมิ ความดันที่ถังขับดัน เยอดถังด้านดูดและด้านจ่าย บริมาตรน้ำที่สูบน้ำได้ และพลังงานที่ใช้ในการสูบน้ำ โดยประสิทธิภาพปั๊มน้ำสำหรับไอน้ำ สามารถคำนวณได้จากการพลังงานที่ได้ในการสูบน้ำต่อพลังงานที่ป้อนให้ระบบดังสมการที่ 1-3

$$\eta_p = \frac{N_{W_h}}{Q_{input}} \times 100 \quad (1)$$

เมื่อ η_p คือ ประสิทธิภาพปั๊มน้ำ (%) W_h คือ พลังงานที่ได้ในการสูบน้ำต่อรอบ (J) N คือ จำนวนรอบ Q_{input} คือ พลังงานที่ป้อนให้กับระบบ (J)

$$W_h = V_c \rho_w g h \quad (2)$$

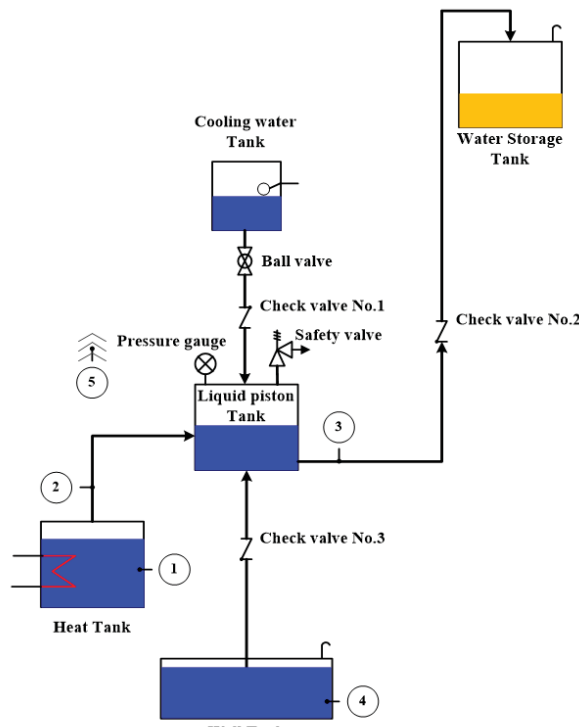
เมื่อ V_c คือ ปริมาตรน้ำที่สูบได้ต่อรอบ (m^3) ρ_w คือ ค่าความหนาแน่นของน้ำ (kg/m^3) g คือ ค่าความเร่งเนื่องจากแรงโน้มถ่วงของโลก (m/s^2) h คือ ระดับความสูงในการสูบน้ำ (m)

$$\dot{Q}_{input} = m_w C_{p,w} \frac{d(T_w)}{dt} \quad (3)$$

เมื่อ \dot{Q}_{input} คือ อัตราพลังงานที่ป้อนให้กับระบบ (kW) M_w คือ มวลน้ำในถังผลิตไอน้ำ (kg) $C_{p,w}$ คือ ค่าความจุความร้อนของน้ำ (kJ/kg °C) $\frac{d(T_w)}{dt}$ คือ ผลต่างของอุณหภูมิน้ำในถังผลิตไอน้ำที่เปลี่ยนแปลงตามเวลา (°C/sec)

D. วิธีการทดลอง

ในระหว่างกระบวนการสูบน้ำของระบบปั๊มน้ำสำหรับไอน้ำ อุณหภูมิภายในระบบมีการเปลี่ยนแปลงตลอดเวลา หัววัดอุณหภูมิชนิด K จึงถูกติดตั้งเพื่อใช้ตรวจวัดการเปลี่ยนแปลงของอุณหภูมิที่เกิดขึ้นระหว่างการทำงานของระบบปั๊มน้ำสำหรับไอน้ำทุกๆ 5 sec ตำแหน่งในการติดตั้งหัววัดอุณหภูมิมี 5 ตำแหน่ง ดังภาพที่ 1 ประกอบด้วย ตำแหน่งที่ 1 หัววัดอุณหภูมิน้ำภายในถังผลิตไอน้ำ (TW,HT) ตำแหน่งที่ 2 หัววัดอุณหภูมิภายนอกในท่อที่ป้อนให้ถังขับดัน (TS,LT) ตำแหน่งที่ 3 หัววัดอุณหภูมิน้ำภายในท่อขาออกจากถังขับดัน (TW,LT) ตำแหน่งที่ 4 หัววัดอุณหภูมิน้ำจากแหล่งน้ำ (TW,WT) และตำแหน่งที่ 5 หัววัดอุณหภูมิบรรยายกาศ (TA) โดยตลอดการทดลองอุณหภูมิสิงแวดล้อมอยู่ในช่วง 29-31 °C



ภาพที่ 5 ตำแหน่งติดตั้งจุดวัดค่า

เมื่อตรวจสอบความสามารถของระบบปั๊มน้ำสำหรับไอน้ำแล้ว ทำการติดตั้งเครื่องมือวัดอุณหภูมิเข้ากับระบบปั๊มน้ำสำหรับไอน้ำ ใช้อีตเตอร์ขนาด 6,000 W เป็นแหล่งพลังงานความร้อน กำหนดเงื่อนไขเริ่มต้น โดย

ควบคุมอุณหภูมิน้ำภายในถังผลิตไอน้ำประมาณ 60°C และควบคุมระดับเบดสติกด้านคุณภาพด้านจ่าย เท่ากับ 1 m และ 2.5 m ตามลำดับ หลังจากนั้นมีขั้นตอนการทดลอง ดังนี้

1) บรรจุน้ำภายในถังผลิตไอน้ำขนาด 13 L โดยคงอยู่สังเกตระดับน้ำจากหลอดแก้ววัดระดับน้ำอยู่เสมอ เพื่อป้องกันไม่ให้น้ำแห้ง

2) บรรจุน้ำภายในถังขับดันตามเงื่อนไขที่กำหนด คือ ปริมาตรร้อนในถังขับดันในการทดลองกรณีที่ 1 คิดเป็น 25% ของความจุถังขับดัน การทดลองกรณีที่ 2 คิดเป็น 50% ของความจุถังขับดัน และการทดลองกรณีที่ 3 คิดเป็น 75% ของความจุถังขับดัน เมื่อจังหวัดน้ำความจุ 13 L

3) ทำการจ่ายไฟฟ้าให้กับอีเตอร์เพื่อทำการต้มน้ำในถังผลิตไอน้ำจ่ายให้กับถังขับดัน พร้อมกับเริ่มน้ำที่ค่าอุณหภูมิทุกๆ 5 sec

4) เมื่อความดันในถังขับดันเพิ่มขึ้นระบบปั๊มน้ำด้วยกำลังไอน้ำจะสูบน้ำจากแหล่งน้ำและจ่ายไปยังถังเก็บน้ำ ถือเป็น 1 รอบการทำงาน

5) ระบบปั๊มน้ำด้วยกำลังไอน้ำจะสูบนำทำงานจนครบ 3 cycle แล้วบันทึกปริมาณน้ำที่สูบได้ และหยุดบันทึกค่าอุณหภูมิ

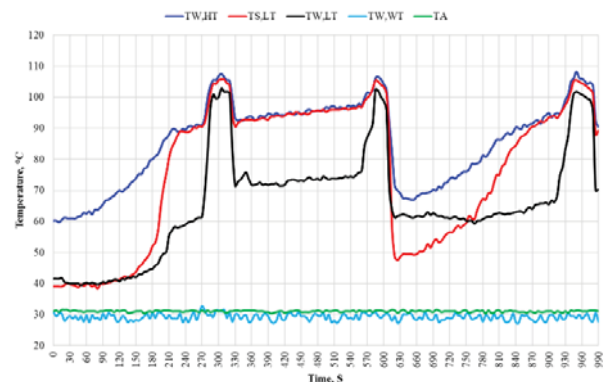
6) ทำซ้ำตามข้อ 1 ถึง 5 โดยเปลี่ยนปริมาตรร้อนในถังขับดันเริ่มต้นเป็น 50% ของความจุถังขับดัน และ 75% ของความจุถังขับดัน

7) นำข้อมูลที่ได้จากการทดสอบที่กับข้อมูลมาวิเคราะห์ประสิทธิภาพปั๊มน้ำ

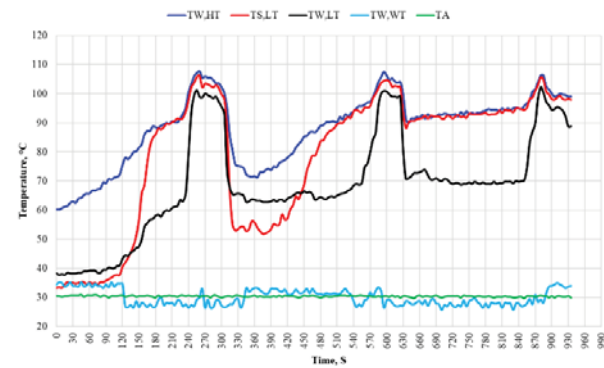
III. ผลการทดลอง

A. การเปลี่ยนแปลงอุณหภูมิภายในระบบปั๊มน้ำด้วยกำลังไอน้ำ

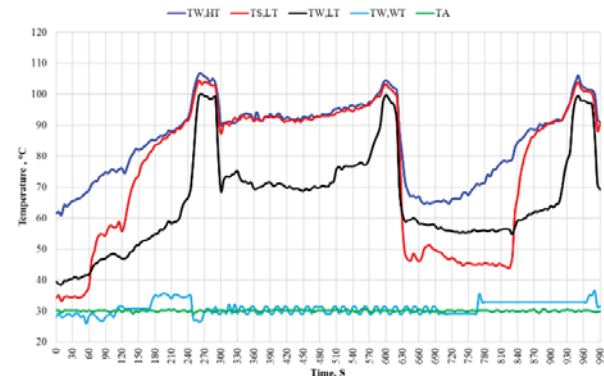
การทดลองแบ่งได้เป็น 3 กรณีตามสัดส่วนพื้นที่ส่วนเก็บไอน้ำในถังขับดันที่ $25\%, 50\%$ และ 75% ของปริมาณความจุถังขับดัน เก็บข้อมูลการทำงาน 3 cycle ในแต่ละครั้งพบร่วมกับ แนวโน้มการเพิ่มขึ้นของอุณหภูมิน้ำภายในถังผลิตไอน้ำเมื่อกันทั้ง 3 กรณี โดยเริ่มให้ความร้อนจากอุณหภูมิ TW,HT เริ่มต้น 60°C อุณหภูมิเพิ่มขึ้นอย่างช้าๆ จนกระทั่งอุณหภูมิใกล้เคียง 90°C (อุณหภูมน้ำและอุณหภูมิไอน้ำใกล้เคียงกัน) หลังจากนั้น อุณหภูมิ TS,LT เพิ่มขึ้นอย่างรวดเร็วเท่ากับอุณหภูมิไอน้ำอีกครั้งที่ความดัน 0.3 bar,g คือ 108°C (ช่วงขับดันน้ำ) สอดคล้องกับงานวิจัยของ [7] ที่ระบบจะเริ่มทำงานเมื่ออุณหภูมิ TS,LT มากกว่า 98°C หลังจากนั้น อุณหภูมิ TS,LT จะลดลงอย่างรวดเร็ว เนื่องจากเป็นช่วงหล่อเย็นจนกระทั่งอุณหภูมิลดลงมาใกล้เคียง 90°C ถือเป็น 1 cycle และเริ่มรับความร้อนในรอบการทำงานต่อไป ในขณะเดียวกัน อุณหภูมิ TW,LT มีแนวโน้มการเปลี่ยนแปลงเหมือนกับอุณหภูมิ TW,HT และ TS,LT แต่อุณหภูมิต่ำกว่า สอดคล้องกับงานวิจัยของ [8] ที่ควบคุมความดันเท่ากับ 10 kPa อุณหภูมิ TW,HT เท่ากับ 102.9°C และ TW,LT เท่ากับ 101.1°C ในการทำงานรอบที่ 2 สังเกตได้ว่าหลังจากช่วงหล่อเย็นเกิดสภาพเส้นผ่าศูนย์กลาง อุณหภูมิ TW,HT และ TS,LT ลดลงมากกว่าแรก เนื่องจากน้ำที่ถูกสูบเข้าถังขับดันให้ย้อนกลับเข้าสูงผลิตไอน้ำ และเวลาที่เริ่มเกิดช่วงขับดันน้ำรอบแรก ในการนี้สัดส่วนพื้นที่ส่วนเก็บไอน้ำในถังขับดันที่ 50% (ปริมาณน้ำช่วงเริ่มต้น 50%) และ 75% (ปริมาณน้ำช่วงเริ่มต้น 25%) ของความจุถังขับดันใช้เวลา 220 sec เร็วกว่ากรณีสัดส่วนพื้นที่ส่วนเก็บไอน้ำในถังขับดันที่ 75% (ปริมาณน้ำช่วงเริ่มต้น 25%) ของความจุถังขับดัน ประมาณ 20 sec ดังภาพที่ 7



(I) สัดส่วนพื้นที่ส่วนเก็บไอน้ำในถังขับดันที่ 75% ของความจุถังขับดัน



(II) สัดส่วนพื้นที่ส่วนเก็บไอน้ำในถังขับดันที่ 50% ของความจุถังขับดัน



(III) สัดส่วนพื้นที่ส่วนเก็บไอน้ำในถังขับดันที่ 25% ของความจุถังขับดัน

ภาพที่ 7 การเปลี่ยนแปลงอุณหภูมิภายในระบบปั๊มน้ำด้วยกำลังไอน้ำ

B. ผลของสัดส่วนพื้นที่ส่วนเก็บไอน้ำในถังขับดันที่มีต่อปริมาณน้ำที่สูบได้ จากสัดส่วนพื้นที่ส่วนเก็บไอน้ำในถังขับดันที่ $25\%, 50\%$ และ 75% ของความจุถังขับดัน ปริมาตรร้อนที่สูบได้จากการทดลอง 3 cycle ดังตารางที่ 1

TABLE I. THE VOLUME OF PUMPED WATER

Case	The steam storage area ratio in the pressure vessel (%)	The volume of pumped water (mL)	The rate of pumped water (lpm)	Specific energy consumption (kJ/mL)
I	75	28,600	1.73	0.208
II	50	33,600	1.94	0.185
III	25	35,000	2.11	0.170

C. ประสิทธิภาพของบีมสูบน้ำกำลังไอน้ำ

จากสัดส่วนพื้นที่ส่วนเก็บไอน้ำในถังขับดันที่ 25%, 50% และ 75% ของความจุถังขับดัน ประสิทธิภาพของบีมสูบน้ำกำลังไอน้ำที่เท่ากับ 0.004723% 0.005297% และ 0.005759% ตามลำดับ ดังตารางที่ 2 สอดคล้องกับงานวิจัยของ [14] มีประสิทธิภาพของเครื่องสูบน้ำเท่ากับ 0.00266%

TABLE II. STEAM-POWERED WATER PUMP EFFICIENCY

Case	The steam storage area ratio in the pressure vessel (%)	Steam-powered water pump efficiency (%)
I	75	0.004723
II	50	0.005297
III	25	0.005759

IV. อภิปรายผล

จากการทดลองบีมสูบน้ำที่ส่วนเก็บไอน้ำในถังขับดันมีผลต่อปริมาณน้ำที่สูบน้ำได้ เนื่องจากเมื่อพิจารณาการเปลี่ยนแปลงอุณหภูมิภายในระบบบีมสูบน้ำกำลังไอน้ำจะเห็นได้ว่า กรณีที่ I มีพื้นที่ส่วนเก็บไอน้ำ 75% ด้วยพื้นที่สะสมไอน้ำที่สูงกว่ากรณีที่ II และ III การเพิ่มขึ้นของความดันภายในถังขับดันเร็วกว่า 20 sec เพราะไอน้ำสามารถกระจายตัวในพื้นที่ที่ใหญ่กว่า ทำให้ต้องใช้ระยะเวลาในการสะสมไอน้ำและเพื่อเปลี่ยนเป็นความดันในการขับดันน้ำที่มากกว่า ขณะเดียวกันเมื่อไอน้ำเติมเข้าสู่พื้นที่เก็บไอน้ำ ไอน้ำบางส่วนจะเกิดการควบแน่นในของเหลวจนถึงจุดสมดุลระหว่างไออกไซเจนที่จึงทำให้ความดันสุดท้ายของกรณีที่ I ต่ำกว่าอีก 2 กรณี จากความดันสุดท้ายในการขับดันน้ำที่ต่ำกว่าจึงส่งผลต่อปริมาณน้ำที่สูบได้ต่ำที่สุดคือ 28,600 mL สอดคล้องกับงานวิจัยของ [15] ที่พบว่า สัดส่วนปริมาตรอากาศส่างผลต่อการทำงานของระบบ ปริมาตรน้ำที่สูบได้จะลดลงตามสัดส่วนของปริมาตรอากาศที่เติม ด้วยเหตุนี้จึงทำให้ประสิทธิภาพของบีมสูบน้ำกำลังไอน้ำต่ำที่สุด คือ 0.004723% และมีค่าการใช้พลังงานต่อหน่วยผลผลิตสูงที่สุด คือ 0.208 kJ/mL

V. ข้อสรุป

จากการทดลองระบบบีมสูบน้ำกำลังไอน้ำที่มีแสดงสถิติตัวแวดล้อมและด้านส่วนน้ำเท่ากับ 1 m และ 2.5 m ตามลำดับ โดยวัดปริมาตรน้ำที่สูบได้จำนวน 3 cycle และควบคุมอุณหภูมน้ำภายในถังขับดันที่มีต่อปริมาณน้ำที่สูบได้ สูงสุดได้ต่ำกว่าพื้นที่ส่วนเก็บไอน้ำจะแพร่ผลผ่านกับปริมาณน้ำที่สูบได้ พื้นที่ส่วนเก็บไอน้ำที่ลดลงจะช่วยให้ประสิทธิภาพของบีมสูบน้ำกำลังไอน้ำเพิ่มขึ้น สามารถสูบน้ำได้ปริมาตรสูงสุด และมีค่าการใช้พลังงานต่อหน่วยผลผลิตต่ำที่สุด กรณีที่ III สามารถลดปริมาณการใช้พลังงานลงได้คิดเป็น 18% และ 8% เมื่อเทียบกับกรณีที่ I และ II ดังนั้น จากงานวิจัยนี้กรณีที่ III จึงเป็นเงื่อนไขการทำงานที่เหมาะสมในการประหยัดพลังงาน แนวทางการวิจัยในอนาคตเพื่อเพิ่มประสิทธิภาพของบีมสูบน้ำกำลังไอน้ำควรศึกษาการสร้างสภาพแวดล้อมที่สัมพันธ์กับระดับเขตสถิติตัวแวดล้อมและการติดตั้งอุปกรณ์ควบคุมการไหลของน้ำหล่อเย็นแบบอัตโนมัติ เพื่อควบคุมปริมาณน้ำหล่อเย็น

คำขอบคุณ

คณะกรรมการที่ช่วยเหลือในการดำเนินการวิจัย คณาจารย์ ดร. ทรงเกียรติ ภาวดี ที่ให้ความอนุเคราะห์อุปกรณ์เก็บข้อมูล

อ้างอิง

- [1] Energy Policy and Planning Office, "Energy situation in 2023 and trends for 2024," [Online]. Available: <https://www.eppo.go.th/images/Energy-Statistics/energyinformation/Forecast/ShorttermForecast/EnergyForecast2023.pdf>. [Accessed: Jan. 26, 2025].
- [2] Prachachat Business, "Phuket aims to reduce greenhouse gases and become a low-carbon city by 2030," [Online]. Available: <https://www.prachachat.net/local-economy/news-1371751>. [Accessed: Jan. 26, 2025].
- [3] N. Srichai, S. Kuayrakan, and C. Suwanprasit, "Water use and water demand modeling for hotel and tourism business, patong, phuket province," the Prince of Songkla University Journal of Social Sciences and Humanities, vol. 22, no. 2, pp. 255-292, May-August 2016.
- [4] S. Liengjindathawon, K. Kirtikara, P. Namprakai, and T. Kiatsiriroat, "Parametric studies of a pulsating-steam water pump," International Journal of Ambient Energy, vol. 23, no. 1, pp. 37-46, Mar. 2011, doi: 10.1080/01430750.2002.9674867.
- [5] D. Das, and M. R. Gopal, "Study on a metal hydride based solar water pump," International Journal of Hydrogen Energy, vol. 29, no. 1, pp. 103-112, Jan. 2004, doi: 10.1016/S0360-3199(03)00044-2.
- [6] K. Chalermtumrong, P. Namprakai, and N. Pratinthong, "Steam driven water pump using waste heat recovery," in The 10th Kasetsart University Kamphaeng Saen Campus Conference, Nakhon Pathom, Thailand, December 6-7, 2013, pp. 1476-1483.
- [7] P. Moonsri, P. Rakkanrane, C. Inyasree, and K. Sagulpongmalee, "A thermal water pump system from charcoal for community," in The 8th Thailand Renewable Energy for Community Conference, Rajamangala University of Technology Thanyaburi, Pathumthani, Thailand, November 4-6, 2015, pp. 324-326.
- [8] P. Salapsri, J. Sitranon, K. Witinantakit, K. Narkpiban, and P. Moonsri, "A study of the gauge pressure control that affects pumping of automatic water pump system with steam," PSRU Journal of Industrial Technology and Engineering, vol. 5, no. 2, pp. 223-238, August 2023.
- [9] J. Sitranon, K. Sutthivirode, and N. Roonprasang, "The mathematical modeling for a study of suction heads of a continuous operation thermal water pump with steam system," SWU Engineering Journal, vol. 15, no. 3, pp. 89-100, September-December 2020.
- [10] K. Sutthivirode, N. Prathinthong, P. Namprakai, N. Roonprasang, and T. Suparos, (2014). "Waste heat water pumping model with direct contact cooling," Journal of Central South University, vol. 21, no. 10, pp. 3896-3910, Oct. 2014, doi: 10.1007/s11771-014-2377-6.
- [11] S. Arunyaem, "Thermal water pump with steam and air," M.S. thesis, Master of Science, Dept. Energy Tech., King Mongkut's Univ. of Tech. Thonburi, Bangkok, Thailand, 2011
- [12] P. Moonsri, J. Kunchornrat, and P. Namprakai, "Hybrid energy thermal water pump for producing hot water from a shallow well in Thailand," Journal of Energy Engineering, vol. 142, no. 3, pp. 040150231-15, Jun. 2016, doi: 10.1061/(ASCE)EY.1943-7897.00002.
- [13] C. Oonwised, J. Sitranon, and K. Sutthivirode, "Study of temperature and amount of cooling water affecting to vacuum pressure of steam water pump," Journal of Renewable Energy for Community, vol. 4, no. 3, pp. 107-120, December 2021.
- [14] N. Roonprasang, "A mathematical model of the solar water heater system self-circulated by a steam power," Ph.D. dissertation, Dept. Energy Tech., King Mongkut's Univ. of Tech. Thonburi, Bangkok, Thailand, 2008. [Online]. Available: <https://dric.nrct.go.th/index.php?/Search/SearchDetail/209839>
- [15] J. Sitranon, C. Lertsatithanakorn, P. Namprakai, N. Prathinthong, T. Suparos, and N. Roonprasang, "Performance enhancement of solar water heater with a thermal water pump," Journal of Energy Engineering, vol. 141, no. 4, pp. 0401403601-10, Aug. 2014, doi: 10.1061/(ASCE)EY.1943-7897.0000216.